

# **ЧИСЛЕННОЕ МОДЕЛИРОВАНИЕ ПАТОЛОГИЧЕСКИХ ПРОЦЕССОВ ПРИ ЧЕРЕПНО-МОЗГОВЫХ ТРАВМАХ**

**Агапов П. И.**

(Россия, Москва)

*В статье приведены результаты численного моделирования патологических процессов, происходящих в мозге человека вследствие ударной нагрузки, с помощью методов механики сплошных сред. Сформулирована двумерная модель, качественно описывающая динамику напряжений и деформаций. Рассмотрены некоторые вопросы применения конечно-разностных методов на треугольных неструктурированных сетках применительно к данной задаче.*

## **Введение**

Моделирование механических аспектов черепно-мозговой травмы является одной из задач бурно развивающейся сегодня области применения математических методов в медицине и биомеханике, в том числе применения методов механики жидкостей, газов и деформируемого твердого тела для описания процессов, происходящих в теле человека. Интерес к подобным задачам обусловлен принципиальными трудностями в постановке эксперимента в данной области, а также большой сложностью явлений, затрудняющей теоретические исследования.

## **Постановка задачи**

В данной работе ставится задача исследовать на качественном уровне процессы, происходящие в системе череп-мозг при черепно-мозговой травме, с механической точки зрения. При этом повреждения биологических тканей рассматриваются как разрушения в сплошной среде, моделирующей их поведение. Сопоставляя пространственное распределение механических нагрузок того или иного типа с фактическими повреждениями, полученными при данном воздействии, можно выявить критерии повреждаемости тканей мозга и связать их с нагрузками

определенного типа (сдвиговые/растягивающие напряжения, линейные/угловые ускорения).

Основные трудности, возникающие в большинстве современных МКЭ моделей ударных воздействий на черепно-мозговой отдел человека, возникают в связи с высокой чувствительностью результата к аккуратному моделированию контактных взаимодействий черепа и мозга, а также к учету различных структурных неоднородностей в мозге. Это дает основание полагать, что применение иных классов численных методов может служить эффективным средством повышения точности существующих моделей. Одним из таких классов является класс сеточно-характеристических методов, известных более аккуратной формулировкой граничных и контактных условий, а также способностью более адекватно описывать сложные волновые картины распространения возмущений в сильно гетерогенной среде. В то же время наличие сложной геометрии свидетельствует о необходимости обобщения и распространения существующих сеточно-характеристических методов на случай нерегулярных сеток.

### **Математическая модель деформируемого твердого тела**

В данной работе использовались двумерные модели черепно-мозгового отдела человека, построенные для сагиттального и трансверсального сечений. Простейшей используемой моделью являлась двухкомпонентная модель (рис. 1.а). Ткани кости и мозга описывались однородными изотропными материалами, имеющими усредненные механические свойства. Внешняя нагрузка задавалась в виде соударения системы череп-мозг с абсолютно жесткой неподвижной преградой с заданной начальной скоростью (3 м/с).

Известно, что большой вклад в формирование волновой картины распространения возмущений в упругой среде вносят неоднородности. Поэтому модель (1.а) получила дальнейшее развитие в виде трехкомпонентной модели, включающей, помимо кости и мозга, еще желудочки.

Мембраны твердой мозговой оболочки (*dura mater*) оказывают сдерживающее влияние на перемещения мозга внутри черепной коробки. Поэтому впоследствии было принято решение

вести в модель falx cerebri, вертикальную мембрану, разделяющую полушария в теменной области.

Реологические свойства биоматериалов также подвергались модификации. Так, реология мозгового вещества менялась от идеальноупругой до вязкоупругой. Кость моделировалась идеальноупругим материалом со средними свойствами пластинчатой и губчатой кости. Желудочки представлялись квазижидкостью – вязко-упругим материалом с модулем сдвига, близким к нулю.

Моделирование взаимодействия между черепом и мозгом является очень сложной задачей ввиду того, что в действительности мозг имеет большое количество различных по механическим свойствам (многие из которых до сих пор неизвестны) оболочек, складчатых структур, врастающих друг в друга, с полостями, заполненными ликвором (цереброспинальной жидкостью). В данной работе применялся метод явного выделения контактного разрыва с контактными условиями, которые варьировались от полного слипания до скольжения с возможностью отслоения.

Для математического моделирования волновых процессов в деформируемом твердом теле использовалась система динамических уравнений [3] в виде

$$\rho \dot{v}_i = \nabla_j \sigma_{ij} \quad (\text{уравнения движения}),$$

$$\dot{\sigma}_{ij} = q_{ijkl} \dot{\varepsilon}_{kl} + F_{ij} \quad (\text{реологические соотношения}). \quad (1)$$

Здесь  $\rho$  — плотность среды,  $v_i$  — компоненты скорости смещения,  $\sigma_{ij}$ ,  $\varepsilon_{ij}$  — компоненты тензоров напряжения и деформаций,  $\nabla_j$  — ковариантная производная по  $j$ -й координате,  $F_{ij}$  — добавочная правая часть.

Вид компонент тензора 4-го порядка  $q_{ijkl}$  определяется реологией среды. Для линейно-упругого тела

$$q_{ijkl} = \lambda \delta_{ij} \delta_{kl} + \mu (\delta_{ik} \delta_{jl} + \delta_{il} \delta_{jk}).$$

В этом соотношении, которое обобщает закон Гука,  $\lambda$  и  $\mu$  — параметры Ляме,  $\delta_{ij}$  — символ Кронекера.

Плотность определяется из уравнения состояния

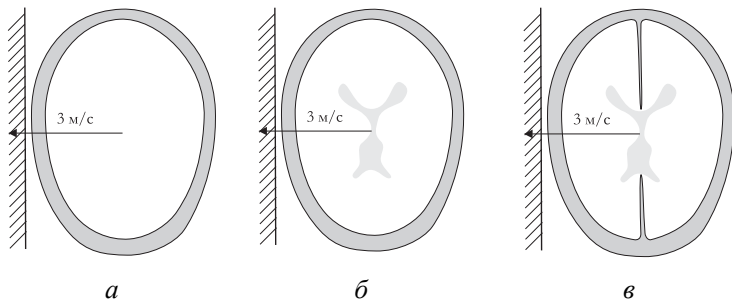
$$\rho = \rho_0 e^{(p/K)},$$

где  $p = -\frac{1}{3} \sum \sigma_{kk}$  — давление,  $K = \lambda + \frac{2}{3} \mu$  — коэффициент всестороннего сжатия.

Уравнения (0) допускают запись в матричной форме:

$$\frac{\partial}{\partial t} \vec{u} + A_1 \frac{\partial}{\partial x_1} \vec{u} + A_2 \frac{\partial}{\partial x_2} \vec{u} = \vec{f}. \quad (2)$$

Здесь  $\vec{u} = (v_1, v_2, \sigma_{11}, \sigma_{12}, \sigma_{22}, \sigma_{33})^T$  — вектор искомых функций,  $\vec{f}$  — вектор правых частей той же размерности,  $A_i$  — матрицы  $6 \times 6$ , явный вид которых приведен в [4],  $x_1, x_2$  — независимые пространственные переменные,  $t$  — время.



**Рис. 1.** Двумерные модели черепно-мозгового отдела: *а* – двухкомпонентная модель, *б* – модель с желудочками, *в* – модель с желудочками и falx cerebri

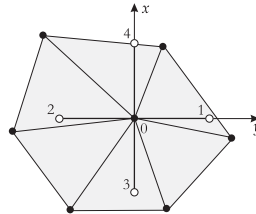
### Численный метод

Для численного интегрирования гиперболической системы уравнений (2) был использован сеточно-характеристический метод [4] на четырехугольных структурированных и треугольных неструктурированных сетках. Разностная схема во внутренних узлах сетки имеет вид

$$u^{n+1} = u^n + \tau(\vec{f} + \vec{d}_1 + \vec{d}_2). \quad (3)$$

Здесь  $\vec{f}$ ,  $\vec{d}_1$ ,  $\vec{d}_2$  — составляющие приращения искомого вектора, соответствующие правой части и двум пространственным направлениям. Верхний индекс соответствует шагу по времени.

Величины  $\vec{d}_i$  в формуле (3) аппроксимируют пространственные слагаемые уравнения (2)



**Рис. 2.** Реконструкция структурированного шаблона на треугольной сетке

$$\vec{d}_i \sim A_i \frac{\partial}{\partial x_i} \vec{u}.$$

Если умножить это выражение слева на левый собственный вектор  $\vec{\omega}$  матрицы  $A_i$ , соответствующий значению  $\lambda$ , получим

$$\vec{\omega}^T \vec{d}_i \sim \lambda \vec{\omega}^T \frac{\partial}{\partial x_i} \vec{u}.$$

В случае явной схемы Куранта–Изаксона–Риса [5], имеющей порядок  $O(\tau, h)$ , на структурированной сетке величины  $\vec{d}_i$  определяются из соотношений

$$\vec{\omega}^T \vec{d}_i = |\lambda| \vec{\omega}^T \frac{(\vec{u}_{\pm 1} - \vec{u})}{h_i}, \quad (4)$$

где  $\vec{u}_{\pm 1}$  — значение в соседнем расчетном узле по данному направлению в зависимости от знака  $\lambda$  (предыдущем при  $\lambda > 0$  и следующем при  $\lambda < 0$ ). Система уравнений (4) для различных  $\vec{\omega}$  и  $\lambda$  используется для определения  $\vec{d}_i$ .

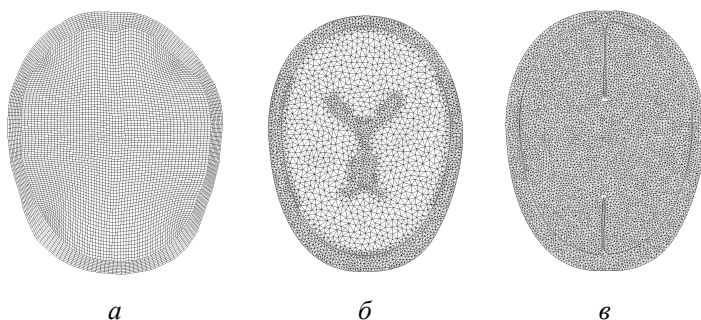
Трудности с построением разностных схем на неструктурированных сетках связаны с тем, что у расчетного узла в такой сетке не имеется фиксированных соседей по координатным направлениям. Для аппроксимации пространственных производных используются значения в произвольно расположенных соседних узлах. С каждым расчетным узлом связан набор треугольников, содержащих его в качестве вершины, которые можно рассматривать как «неструктурированный шаблон». В данной работе реализован метод, позволивший производить расчет на неструктурированном шаблоне с использованием описанных

выше разностных схем для структурированных шаблонов. Можно заметить, что двумерный пятиточечный шаблон, характерный для всех приведенных схем, сводится к заданию линейной аппроксимации сеточной функции (ее градиента) вдоль четырех координатных направлений. Поэтому для применения «структурированных» схем к неструктурированному шаблону достаточно вычислить градиенты с помощью линейной интерполяции по трем точкам внутри треугольников, содержащих соответствующие направления (рис. 2; на рисунке цифрами обозначены точки «виртуального» пятиточечного шаблона).

В настоящей работе для расчета внутренних узлов наряду с монотонной схемой первого порядка (4) использованы гибридная и гибридизированная схемы [5], сочетающие достоинства схем первого (отсутствие нефизических осцилляций) и второго (меньшее размазывание фронта возмущений) порядка. Гибридизированная схема является линейной комбинацией схем первого и второго порядка, коэффициенты которой постоянны и определяются экспериментально, в то время как в гибридной схеме переключение между первым и вторым порядком происходит локально в зависимости от свойств решения.

Реализованная программная архитектура допускает взаимодействие нескольких криволинейных тел с выделением и аккуратным расчетом контактных границ. Техника расчета граничных узлов, а также узлов, участвующих в расчете контактных разрывов на границе соприкасающихся физических тел, подробно описана в [6].

Структурированные расчетные сетки (рис. 3-а) были построены с использованием идей, изложенных в [7]. Для ускорения сходимости соответствующих процессов минимизации был разработан алгоритм построения начального приближения по заданным криволинейным границам области. Треугольные сетки (рис. 3-б, в) были построены с помощью программы **triangle** (автор Jonathan Richard Shewchuk).

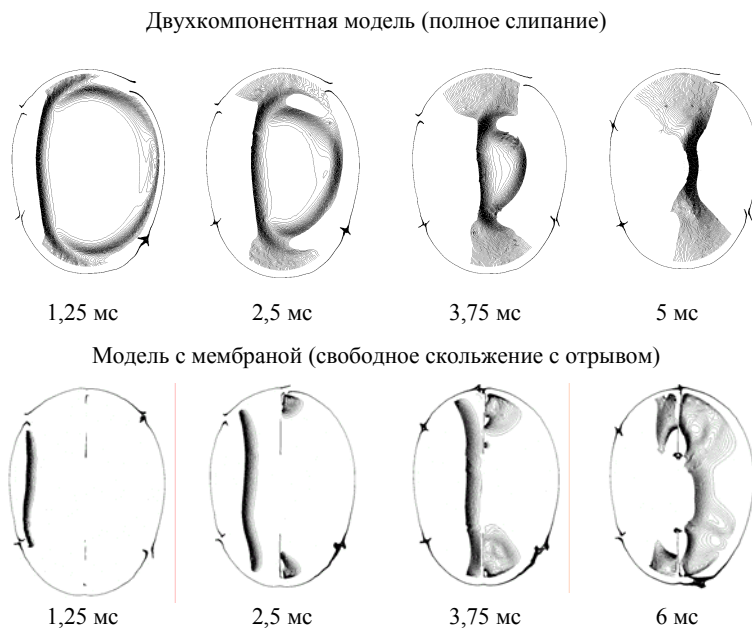


**Рис. 3.** Расчетные сетки: *a* – двухкомпонентная модель, *б* – модель с желудочками, *в* – модель с мембраной

### Результаты расчетов

На рис. 4 представлены некоторые результаты расчетов. Изображены изолинии давления для удара со скоростью 1 м/с в пределах  $\pm 0.1$  атм. Для верификации критериев повреждения мозга по каждому проведенному расчету строилось агрегированное по времени распределение пиковых нагрузок, в котором для каждой величины, ответственной за тот или иной тип разрушения, в каждой точке вычислялся максимум по всему времени интегрирования.

По результатам сравнения расчетных данных с клиническими данными по 6 пациентам, получившим черепно-мозговые травмы различной тяжести, значимых закономерностей выявлено не было. При уменьшении площади соударения (аналог удара острым предметом) наблюдается область концентрации сдвиговых напряжений, примерно совпадающая с очагом гематомы в 3 случаях. Зависимость между наличием повреждений в области противоудара и концентрацией отрицательных давлений не наблюдается.



**Рис. 4.** Изолинии давления для различных моментов времени (удар слева)

### Список литературы:

1. Агапов П. И., Петров И. Б., Обухов А. С., Челноков Ф. Б. Численное решение динамических задач биомеханики сеточно-характеристическим методом. / Сборник РАН «Компьютерные модели и прогресс медицины». — М.: Наука, 2001, с. 275 – 300.
2. Регирер С.А. Лекции по биологической механике. — М.: МГУ, 1980.
3. Новацкий В.К. Теория упругости. — М.: Мир, 1975.
4. Магомедов К.М., Холодов А.С. Сеточно-характеристические численные методы. — М.: Наука, 1988.
5. Петров И.Б., Холодов А.С. О регуляризации разрывных численных решений уравнений гиперболического типа // Журнал вычислительной механики и математической физики. 1984. Т. 24. № 8. С. 1172–1188.

6. Агапов П.И., Петров И.Б., Челноков Ф.Б. Численное исследование задач механики деформируемого твердого тела в неоднородных областях интегрирования. / Обработка информации и моделирование. — М.: МФТИ, 2002. С. 148 – 157.
7. Иваненко С. А., Чарахчян А. А. Криволинейные сетки из выпуклых четырехугольников // Журнал вычислительной механики и математической физики. 1988. Т. 28. № 4. С. 503 – 514.

## NUMERICAL MODELING OF PATHOLOGICAL PROCESSES IN CASES OF CRANIAL INJURY

**Agapov P.**

(Russia, Moscow)

*This article presents some results of numerical modeling of pathological processes evolving in the human head due to impact loads, by means of methods of the continuum mechanics. A two-dimensional model is formulated, which describes in a qualitative way the stress/strain dynamics. Some aspects concerning application of finite-difference numerical methods on unstructured triangular meshes are discussed with respect to the given problem.*